

## 角柱物体から放射されるカルマン漏について

金沢工業大学 正員 中川武夫

1. 緒言

遷音速流中に二次元対称翼を固定する前方および上方(または下方)を音速線、後方を衝撃波そして下方(または上方)を翼の表面によって囲まれた超音速領域が局所的に形成されたことがある。こうした超音速領域の内部には通常斜交すたくさんのマッハ線を認めたことがある。ところが二次元対称翼の前方に角柱のようなくだりした二次元対称物体と前者の対称軸が一致するように固定する状況は一変する。すなはち、翼のまわりの流れは角柱の端形成領域の挙動、あとは角柱から放射された漏によって構成されたカルマン漏列によって大きな影響を受けることとなる。逆に、後流の翼は角柱から放射された漏の形成機構、角柱の漏形成領域の挙動、あとは角柱から放射された漏の跡に大きな影響を与えた。

ところが、遷音速流中に二次元正方形柱と二次元対称翼を前縁に対称翼と共にすように固定した場合の二種類の物体まわりの流れを規定する臨界パラメーターは一樣流のマッハ数と両物体の無次元間隔  $L/D$  であることが明らかにされた。二二式 L は両物体の中心間距離として D は正方形柱の一边の長さである。例えは、 $L/D < 5.5$  の範囲では少くとも後方の翼の一部が前方の角柱の漏形成領域内に含まれてしまうことがわかつた。したがって、一樣流のマッハ数が十分 1 に近くないとき角柱の漏形成領域は翼のまわり離せん断層の外側に局所的超音速領域が形成されたこととなる。以上の二つが、この流れが角柱、翼、角柱から放射されたカルマン漏、カルマン漏によって翼面に誘導された二次漏、カルマン漏が翼前縁に衝突する際に発生する圧力波、局所的超音速領域内に形成された音速線、マッハ線そして衝撃波等および二種類の干渉から成了種々複雑なものが二つが理解されよう。

本研究においては主として角柱から放射されたカルマン漏が翼前縁に衝突する際に発生する圧力波について考察を加えることとする。

2. 実験

Fig. 1 に実験の概要図を示した。図示したような角柱と翼のまわりのマッハツエンダー干渉計によって可視化された流れを回転式ドームカメラを用いてフィルム速度約 7 KHz で高速度撮影した。また、二の高速度撮影と平行して図示した P1 ~ P10 の点において風洞側壁面に埋込した圧力変換器による圧力の時間変化の測定を行った。

3. 結果および考察

Fig. 2 (a) と (b) にはそれぞれ  $-2 \times 3$  における干渉写真を示した。二二式、戸は角柱の前方上で各点における圧力によって無次元化された漏の中心および流れの代表的な位置における圧力である。二種類の干渉写真的上部に二二式議論の対象としている圧力波を認めたことがである。すなはち、圧力波が干渉写真的上にありて黑白筋模様の不連続線と対応している。画面上の圧力波の位置から、二の波が上端に伝播していき理解することができた。

Fig. 3 は任意の時間原点  $t = 1$  から  $143 \mu\text{s}$  間隔で二つの角柱が放射されたカルマン端の軌跡(○、△)、カルマン端によって翼面に諸事象が生じた二次端の軌跡(□)およびカルマン端が翼前線に衝突した時に発生した圧力波の軌跡が示されている。また、二の図には  $t = 2$  における滑形領域内の範囲を示すものである。

### 参考文献

- 1) Nakagawa, T., Meier, G.E.A., Timm, R. and Lent, H.-A. 1985 *Vortex shedding of a square cylinder in front of a slender airfoil at high Reynolds numbers; part 2 Compressibility effect.* Max-Planck-Institut für Strömungsforschung, Bericht.

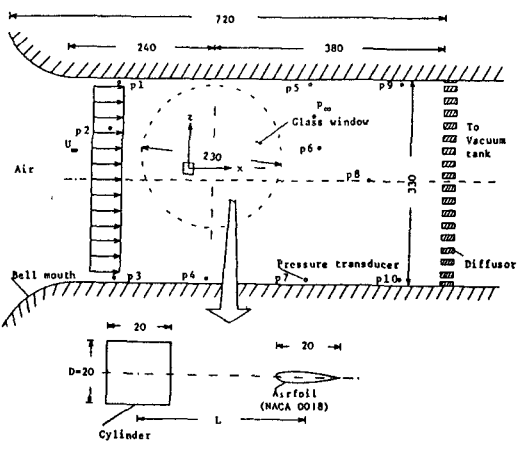
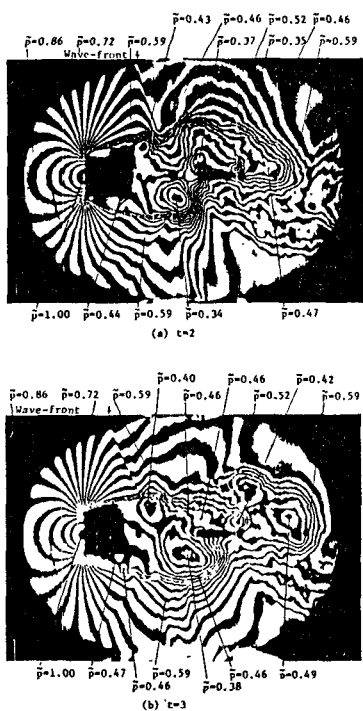


Fig.1 Experimental arrangement.  
(units:mm)

Fig.2 Interferograms around square cylinder and airfoil arranged in tandem.

$U_\infty = 216.6 \text{ m/s}$ ,  $f_{\max} = 1348 \text{ Hz}$ ,  $St = 0.1245$ ,  
 $Re = 2.923 \times 10^5$ ,  $L/D = 2.875$ .  
 $\Delta t = 143 \mu\text{s}$ , which is time interval between  $t=2$  and 3.

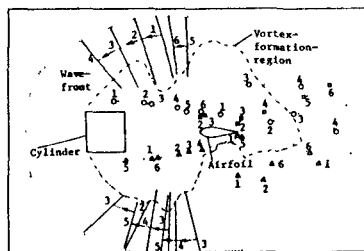


Fig.3 Loci of vortices and wave-fronts around square cylinder and airfoil arranged in tandem.

$\Delta t = 143 \mu\text{s}$ , which is time interval between two adjacent vortices and wave-fronts.